

# RÝCHLOSTNÝ PROFIL TEKUTINY V POTRUBÍ

## Ciel' práce

1. Určiť rýchlosný profil vzduchu v kruhovom potrubí pomocou Pitotovej-Prandtlovej rúrky.
2. Pomocou nameraných hodnôt rýchlosí stanoviť koeficienty v rovniciach na výpočet rýchlosného profilu tekutiny v potrubí.
3. Integráciou rýchlosného profilu vypočítať objemový tok tekutiny.

## TEORETICKÁ ČASŤ

### Pohyb tekutiny

Tekutiny (ako telesá) sa deformujú pôsobením vonkajších sôl, ktoré menia ich pohybový stav. Popri tepelnom pohybe molekúl nastáva potom translácia a často aj rotácia určitých elementov tekutiny oproti ostatným elementom prostredia. Takýto pohyb sa nazýva prúdenie. Vlastnosti elementov tekutiny (rýchlosť, hustota, tlak) sú všeobecne funkciou polohy, menia sa z miesta na miesto. Túto zmenu možno považovať za spojité, každému bodu tekutiny možno priradiť určité hodnoty vlastností. Tým sú definované polia vlastností tekutiny, ktoré sa môžu meniť s časom. Napr. pre lokálnu (miestnu) rýchlosť  $v$  to zapisujeme v tvare:

$$v = v(x, y, z, \tau) \quad (1.1)$$

kde  $x, y, z$  sú súradnice bodu v tekutine a  $\tau$  je čas. V takom prípade hovoríme o neustálenom prúdení. Ak hodnoty veličín nezávisia od času, prúdenie je ustálené. Stredovaním okamžitých lokálnych hodnôt veličín na určitom intervale času sa získajú stredné lokálne veličiny. Ak sa hodnota strednej veličiny na určitom mieste nemení s časom, je prúdenie z hľadiska tejto veličiny ustálené.

### Rýchlosný profil tekutiny v potrubí

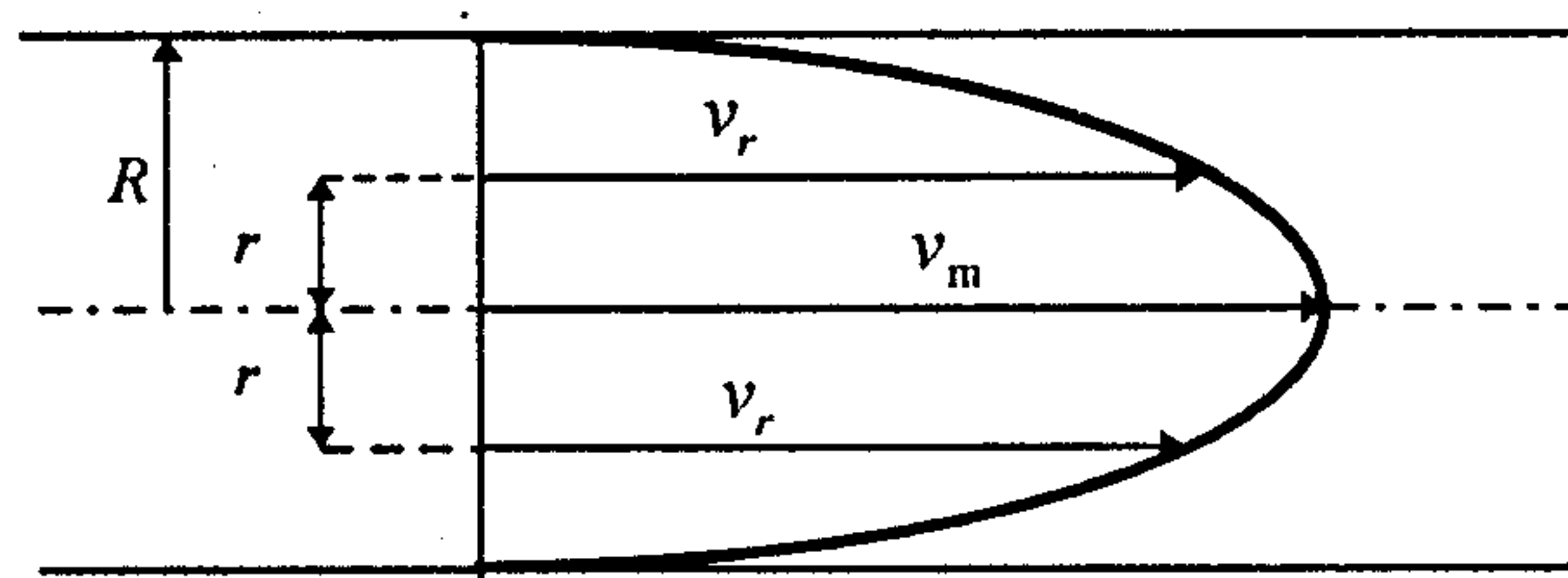
Ak vektory lokálnych rýchlosí  $v$ , pre rad hodnôt  $r \in \langle 0; R \rangle$ , kde  $R$  je polomer potrubia, zakreslíme pozdĺž priemeru potrubia rovnobežne s jeho osou a spojíme koncové body vektorov rýchlosí, dostaneme čiaru, ktorá sa nazýva rýchlosný profil. Ak sa jeho tvar pozdĺž potrubia nemení, používame preň názov vyvinutý rýchlosný profil. Každý detail v potrubí a zmena

smeru potrubia zmení tvar rýchlosného profilu a vyvinutým sa stane až v určitej vzdialosti od tohto miesta.

Vyvinutý rýchlosný profil pri laminárnom prúdení v rovnej rúre kruhového prierezu má tvar paraboly

$$v_r = v_m \left[ 1 - \left( \frac{r}{R} \right)^2 \right] \quad (1.2)$$

kde  $v_m$  je rýchlosť v osi potrubia, obr. 1.1. Plocha preložená koncami vektorov rýchlosi po celom priereze potrubia tvorí rotačný paraboloid.



Obr. 1.1. Rýchlosný profil tekutiny v potrubí pri laminárnom režime

Napriek neusporiadanosťi pohybu elementov tekutiny pri turbulentnom prúdení nado- budnú v potrubí stredné lokálne rýchlosťi hodnoty, ktoré sa nemenia s časom. Vzťah pre presný všeobecný vyvinutý rýchlosný profil pri turbulentnom prúdení sa nepodarilo nájsť. Pomerne širokú platnosť má rovnica

$$\frac{v_m - v_r}{v^*} = -\frac{1}{k} \left[ \ln \left( 1 - \sqrt{\frac{r}{R}} \right) + \sqrt{\frac{r}{R}} \right] \quad (1.3)$$

odvodená Kármánom. Veličina  $v^*$  je tzv. dynamická rýchlosť; možno ju vypočítať pomocou koeficientu trenia  $\lambda$  a priemernej rýchlosi  $w$  zo vzťahu

$$v^* = w \sqrt{\frac{\lambda}{8}} \quad (1.4)$$

Empiricky stanovená hodnota koeficientu  $k$  v rovnici (1.3) je približne 0,36.

Pri prúdení v hladkých potrubiacach možno rýchlosný profil pomerne dobre opísť rovnicou, ktorú odvodil Prandtl:

$$\frac{v_r}{v_m} = \left( 1 - \frac{r}{R} \right)^{\frac{1}{n}} \quad (1.5)$$

Koeficient  $n$  nadobúda hodnoty od  $n = 6$  pri  $Re = 10^4$  po  $n = 10$  pri  $Re = 3,2 \cdot 10^6$ . Pri  $Re = 10^5$  je  $n \doteq 7$ . Pre drsné potrubie je  $n$  väčšie.

Pri výpočte rýchlosného profilu podľa rovnic (1.3) a (1.5) treba okrem empirických súčiniteľov poznať okrajovú podmienku: rýchlosť v osi potrubia. V inžinierskej praxi sa táto hodnota pri znájom priebehu tekutiny stanovuje najčastejšie zo závislosti

$$\frac{w}{v_m} = f(Re) \quad (1.6)$$

Ak je rýchlosný profil osovo-symetrický, ako napr. vyvinutý profil v potrubí kruhového priezvu, mení sa rýchlosť tekutiny pozdĺž polomeru  $R$ , ale na kružnici s polomerom  $r$  je konštantná. Objemový tok osovo-symetrického prúdu vypočítame zo vzťahu

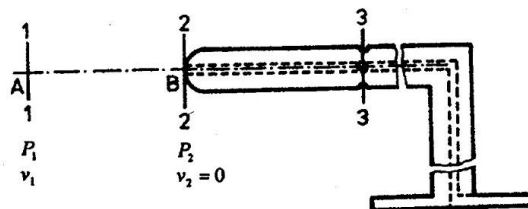
$$\dot{V} = 2\pi \int_0^R v_r r dr \quad (1.7)$$

Pri meraní lokálnych rýchlosí v potrubí, kde rýchlosné pole nie je symetrické, sa rýchlosný profil určuje najmenej pozdĺž dvoch na seba kolmých priemerov. Získajú sa tak rýchlosné profily v každom kvadrante potrubia. Z nameraných údajov môžeme numerickou integráciou podľa rovnice (1.7) vypočítať 4 objemové priebehy (z každého kvadrantu jeden). Symetriu rýchlosného profilu môžeme posudzovať aj na základe rozptylu objemových priebehu vzduchu vypočítaných podľa jednotlivých kvadrantov. Výsledný objemový priebeh potrubia vypočítame ako aritmetický priemer uvedených 4 priebehu.

$$\bar{V} = \frac{\dot{V}_1 + \dot{V}_2 + \dot{V}_3 + \dot{V}_4}{4} \quad (1.8)$$

#### Meranie lokálnych rýchlosí tekutiny

Ak do prúdiaceho prostredia zavedieme nepriekovovú rúrkou so zaobleným koncom, orientovanú otvorom proti smeru vektorov strednej lokálnej rýchlosťi, vytvorí sa pri obtekani tohto telesa rýchlosné pole, v ktorom má osobitný význam prúdnica AB na priamke prechádzajúcej osou rúrky, obr. 1.2.



Obr. 1.2. Ilustrácia snímania tlaku pomocou Pitotovej-Prandtlovej rúrky

V bode B, v osi symetrie rúrky, má rýchlosť tekutiny  $v_2$  nulovú hodnotu. Pozdĺž prúdnice AB dochádza k premene kinetickej energie na tlakovú energiu. Premenu mechanickej energie v prúdiacej tekutine kvantifikuje Bernoulliho rovnica, z ktorej dostaneme

$$\frac{P_1}{\rho_{A1}} + \frac{v_1^2}{2} = \frac{P_2}{\rho_{A2}} \quad (1.9)$$

Pokles rýchlosťi v prúdnici nastáva až v tesnej blízkosti bodu B, straty trením na tomto úseku sú zanedbateľné. Z rovnice (1.9) možno určiť strednú lokálnu rýchlosť tekutiny v mieste 1

$$v_1 = \sqrt{\frac{2(P_2 - P_1)}{\rho_A}} \quad (1.10)$$

Rozdiel tlakov  $(P_2 - P_1)$ , vyvolaný premenou kinetickej energie tekutiny pozdĺž prúdnice AB, sa nazýva dynamický tlak. Tlak  $P_1$  sa nazýva statický tlak, tlak  $P_2$  v bode B je tzv. celkový tlak. Symbol  $\rho_A = \rho_{A1} = \rho_{A2}$  označuje hustotu prúdiacej tekutiny.

Statický tlak  $P_1$  možno snímať otvormi navŕtanými v stene potrubia v priereze 1. Zistilo sa však, že statický tlak na povrchu rúrky, vo vzdialosti trojnásobku jej priemeru od miesta 2 (obr. 1.2), nadobúda hodnotu, ktorá sa nevýznamne líši od statického tlaku v mieste 1. Na tomto poznatku sa zakladá zisťovanie statického a celkového tlaku kompaktným snímačom, Pitotovou-Prandtlovou rúrkou, zostavenou z dvoch sústredných rúrok. Vnútorná slúži na vývod celkového tlaku. Otvormi po obvode vonkajšej rúrky v priereze 3 sa do medzirúrkového priestoru uvedie statický tlak. Vývody celkového a statického tlaku sa často pripájajú k ramenám U-trubice, ktorá predstavuje tlmený snímač produkujúci strednú hodnotu lokálnej veličiny. Rozdiel hladín meracej kvapaliny s hustotou  $\rho_B$  v U- trubici je mierou dynamického tlaku. Dynamický tlak možno vypočítať z rovnice

$$P_2 - P_1 = (\Delta l - \Delta l_0) \sin \alpha \ g (\rho_B - \rho_A) \quad (1.11)$$

$\Delta l$  je vzdialosť meniskov meracej kvapaliny meraná pozdĺž ramien, ktoré zvierajú s horizontálnou rovinou uhol  $\alpha$ ;  $\Delta l_0$  je vzdialosť meniskov meracej kvapaliny pri  $\Delta P = 0$ .

### Vlastnosti prúdiacej tekutiny

V tejto práci sa meria rýchlosťný profil vzduchu v potrubí. Atmosférický vzduch obsahuje okrem stálych zložiek premenlivé množstvo vodnej pary. Zastúpenie vodnej pary vo vzduchu charakterizuje relativny hmotnosťný zlomok vodnej pary  $\bar{Y}$  (voči suchému vzduchu), nazýva sa vlhkosť vzduchu. Vzduch v potrubí sa líši od vzduchu v okolí teplotou a tlakom, zloženie majú rovnaké. Stanovenie vlhkosti vzduchu v okolí je však experimentálne jednoduchšie. Údaje na výpočet hodnoty  $\bar{Y}$  získame v tomto prostredí psychrometricky.

Psychrometrická metóda je založená na poznatku, že ak okolo vlhkého materiálu alebo vody prúdi vzduch určitých vlastností a ak si táto látka môže vymieňať teplo len s prúdiacim

vzduchom, nadobudne vlhký materiál teplotu, ktorá závisí len od teploty a vlhkosti vzduchu a nazýva sa adiabatická saturačná teplota. Naopak, údaje o teplote prúdiaceho vzduchu a adiabatickej saturačnej teplote stačia na určenie vlhkosti vzduchu.

Zariadenie, pomocou ktorého sa zistuje vlhkosť vzduchu na tomto princípe, sa nazýva psychrometer. Do jeho zostavy patria dva teplometry. Jedným z nich sa meria teplota vzduchu, nazýva sa suchý teplomer. Nádobka s meracou kvapalinou druhého teplomera je obalená mušelínom, nasiaknutým vodou, preto sa nazýva vlhký teplomer. Súčasťou psychrometra je ventilátor, ktorý zabezpečí primeranú cirkuláciu vzduchu z okolia. Teplota vlhkého teplomera sa po krátkom čase ustáli na hodnote adiabatickej saturačnej teploty.

Pomocou teploty suchého teplomera  $t_s$ , a teploty vlhkého teplomera  $t_v$  možno vlhkosť vzduchu vypočítať z tepelnej bilancie procesu výmeny látky a tepla medzi vodou v mušeline a prúdiacim vzduchom v jeho okolí. Úpravou bilancie získame vzťah

$$\bar{Y} = \frac{0,622 \frac{P_v^o}{P - P_v^o} \Delta h_v - c_{ps}(t_s - t_v)}{c_{pv}(t_s - t_v) + \Delta h_v} \quad \Delta h_v = \rho_v \cdot (t_s - t_v) + \frac{1}{(1.12)} (0,622 \Delta h_v + 0,622 (t_s - t_v)) \quad (1.12)$$

kde  $P$  je tlak vlhkého vzduchu,  $P_v^o$  je tlak nasýtenej vodnej pary pri teplote  $t_v$ ,  $\Delta h_v$  je výparné teplo vody pri teplote  $t_v$ ,  $c_{ps}$  je špecifická tepelná kapacita suchého vzduchu pri teplote  $(t_s + t_v)/2$ ,  $c_{pv}$  je špecifická tepelná kapacita vodnej pary pri teplote  $(t_s + t_v)/2$ . Hustotu vlhkého vzduchu možno vypočítať zo vzťahu, ktorý sa získa úpravou stavovej rovnice ideálneho plynu

$$\rho = \frac{P(1 + \bar{Y})}{RT \left( \frac{1}{29} + \frac{\bar{Y}}{18} \right)} \quad (1.13)$$

### ZADANIE PRÁCE

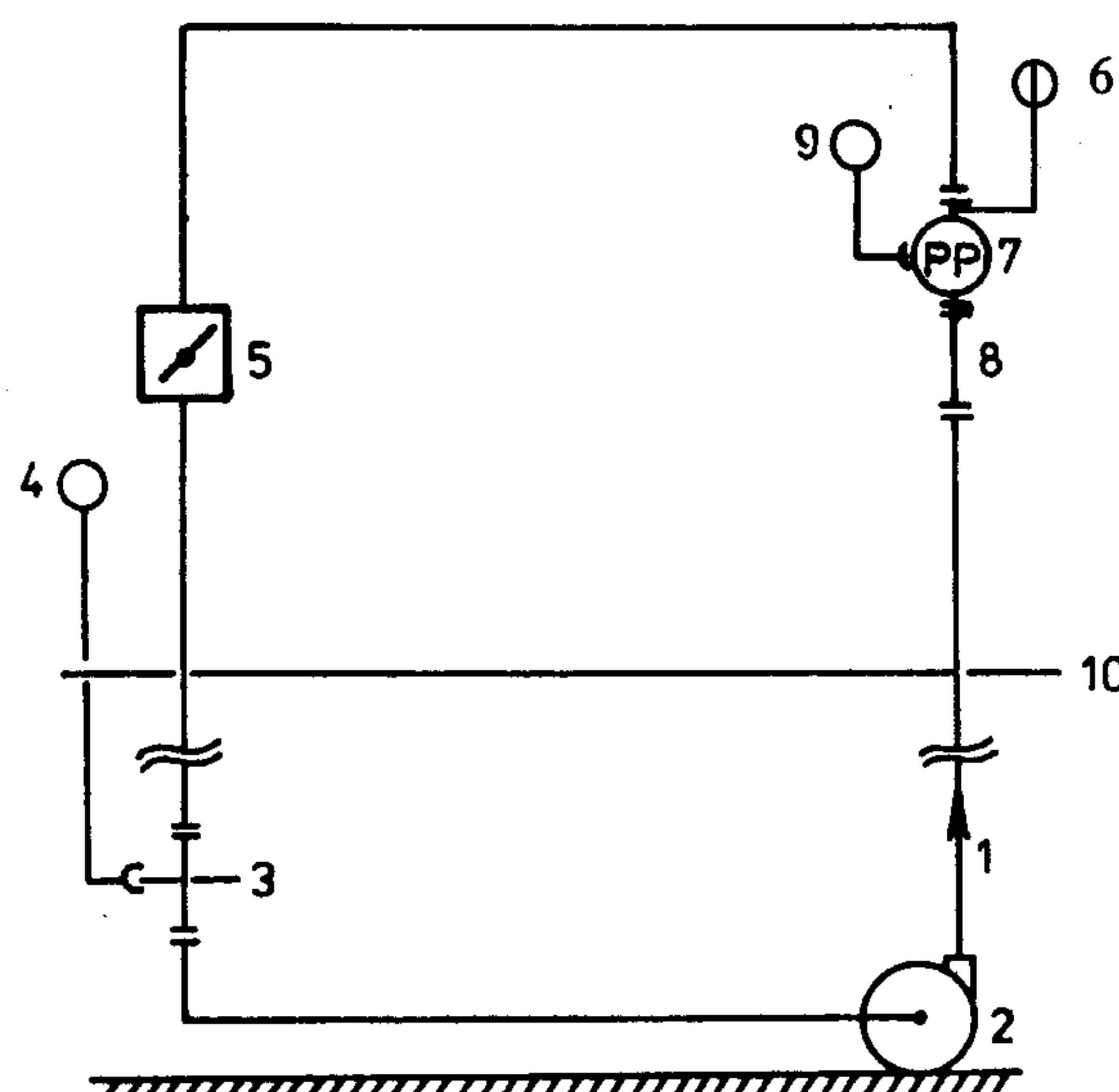
1. Určte pomocou Pitotových-Prandtlových rúrok rýchlosťný profil vzduchu pozdĺž dvoch na seba kolmých priemerov potrubia pri polohe . . . . . regulačnej klapky.
2. Z hodnôt stredných lokálnych rýchlosťí určte objemový tok vzduchu potrubím  $\dot{V}$  a porovnajte ho s objemovým tokom  $\dot{V}_e$  stanoveným pomocou clonky.
3. Vypočítajte priemernú rýchlosť vzduchu v potrubí pre objemový tok  $\dot{V}$ . Pomocou závislosti  $(w/v_m) = f(Re)$  určte osovú rýchlosť tekutiny a porovnajte ju s experimentálne stanovenou hodnotou osovej rýchlosťi.

4. Pomocou nameraného rýchlosnného profilu určte hodnoty koeficientov v rovniciach (1.3) a (1.5).
5. Z rovníc (1.3) a (1.5) vypočítajte rýchlosný profil vzduchu.
6. Zakreslite do grafu rýchlosnne profily z experimentálne stanovených a z rovníc (1.3) a (1.5) vypočítaných stredných lokálnych rýchlosí vzduchu. Odlíšte ich napríklad farebne.

## EXPERIMENTÁLNA ČASŤ

### Zariadenie

Rýchlosný profil sa meria v zvislom úseku potrubia s vnútorným priemerom  $D = 0,106$  m a dĺžkou 7,5 m vo vzdialnosti 5,5 m od vstupu vzduchu do zvislej rúry. Schéma zariadenia je na obr. 1.3.



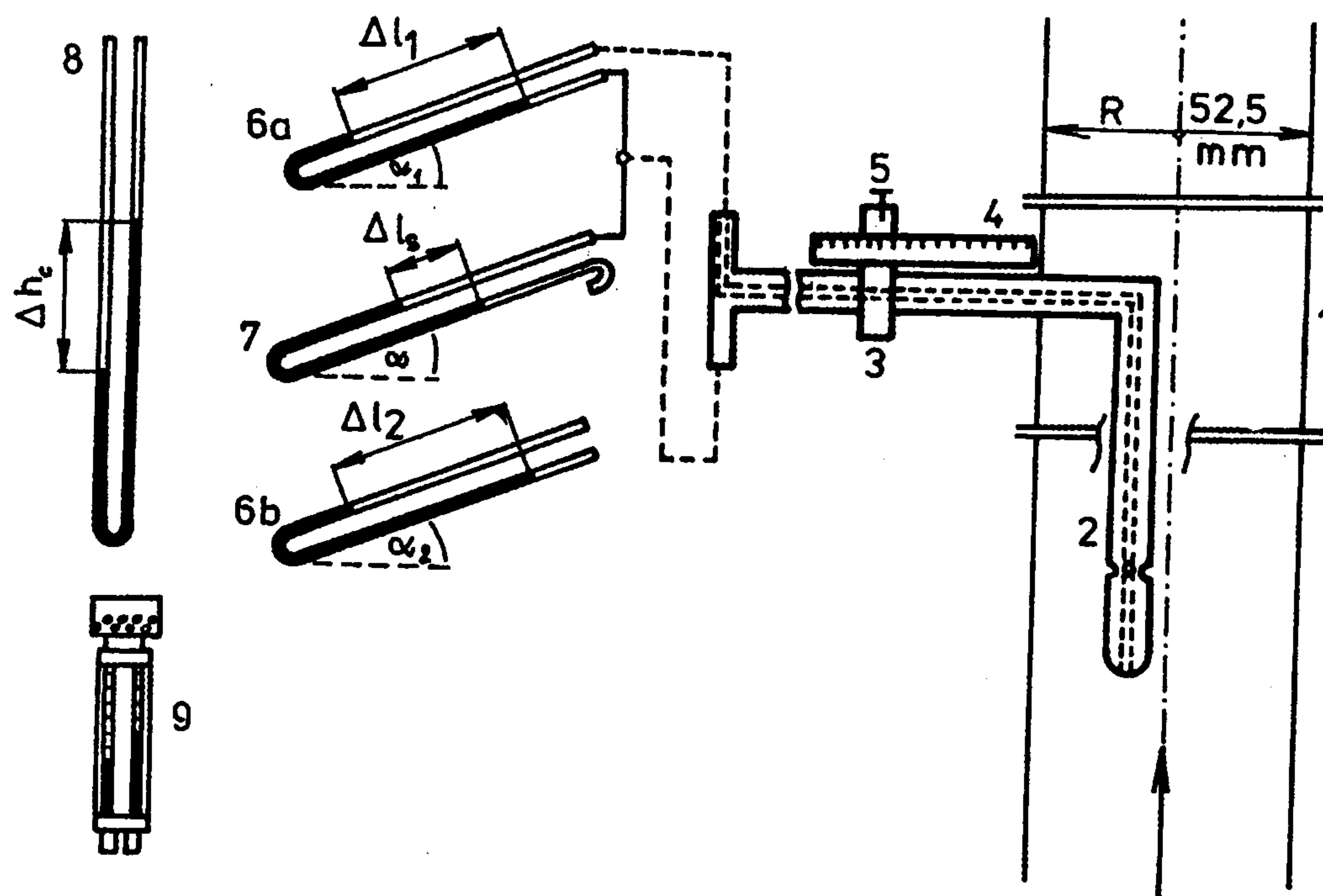
Obr. 1.3. Schéma zariadenia

1 - potrubie, 2 - ventilátor, 3 - clonka, 4 - U-manometer, 5 - regulačná klapka, 6 - teplomer, 7 - nosná vložka pre Pitotove-Prandtlove rúrky, 8 - úsek potrubia zo skla, 9 - U-manometer, 10 - úroveň 1. podlažia haly

Potrubím 1, upevneným na rúrkovom ráme, cirkuluje vzduch poháňaný ventilátorom 2. Prietok vzduchu možno merat' clonkou 3 s pripojeným U-manometrom 4 a regulovať sedempolohovou klapkou 5. Do nosnej vložky 7 sú kolmo na seba osadené dve Pitotove-Prandtlove rúrky orientované smerom nadol. Obe rúrky sú posuvateľné pozdĺž celého priemeru potrubia. Tesne pod nosnou vložkou je sklený úsek potrubia 8.

Schéma inštalácie Pitotovej-Prandtlovej rúrky pre meranie v pravol'avom smere a schéma rozmiestnenia meracích prvkov sú na obr. 1.4. Pitotova-Prandtlova rúrka je pevne spojená s držiakom 3, posuvateľným pozdĺž vodiacej lišty 4 so stupnicou na indikáciu polohy. Po nastavení určitej polohy meracej rúrky 2 v potrubí 1 sa rúrka upevní skrutkou 5. Pri inštalácii

tesne k stene potrubia je meracie miesto - stred otvoru na snímanie celkového tlaku - vzdialené od steny o hodnotu polomeru zvislej časti meracej rúrky. Otvor na snímanie celkového tlaku je vnútornou rúrkou v telese trubice 2 a gumenou hadicou pripojený k jednému ramenu šikmej U-trubice 6a. Statický tlak, vyvedený cez plášť meracej rúrky, je pripojený k druhému ramenu manometra 6a a k ramenu manometra 7. Druhé rameno šikmej U-trubice 7 je otvorené do atmosféry. Manometer 6a indikuje dynamický tlak. Rozdiel hladín meracej kvapaliny v manometri 7 je mierou rozdielu tlaku v systéme (statického tlaku) a atmosférického tlaku.



Obr. 1.4. Schéma inštalácie Pitotovej-Prandtlovej rúrky

1 - nosná vložka rúrky, 2 - Pitotova-Prandtlova rúrka, 3 - držiak rúrky, 4 - vodiaca lišta so stupnicou, 5 - upevňovacia skruška, 6a, 6b - šikmé manometre na meranie dynamického tlaku, 7 - šikmý manometer na meranie statického tlaku, 8 - U- manometer pre clonku, 9 - aspiračný psychrometer

Meracia rúrka pre predozadný smer má vývod celkového tlaku prepojený na horné rameno trubice 6b. Statický tlak sa privádza na dolné rameno trubice 6b a na horné rameno trubice 7. Vývody statického tlaku z oboch Pitotových-Prandtlových rúrok sú vzájomne prepojené; statický tlak sa mení po priereze potrubia veľmi málo.

### Pracovný postup

#### A. Príprava zariadenia na meranie

1. Na šikmých manometroch 6a, 6b, 7 odčítame hodnoty  $\Delta l_{10z}$ ,  $\Delta l_{20z}$ ,  $\Delta l_{s0z}$ . Na U-manometri 8 musí byť  $\Delta h_c = 0$ .

2. Pitotovu-Prandtlovu rúrku na meranie v predozadnom smere umiestnime do prednej krajnej polohy, rúrku na meranie v pravoľavom smere do ľavej krajnej polohy.
3. Regulačnú klapku 5 dáme do polohy predpisanej v zadaní práce. Na pokyn vedúceho cvičenia spustíme ventilátor vypínačom na stípe v blízkosti rozvodnej skrinky. Počas 15 až 30 min sa teplota prúdiaceho vzduchu mení, potom sa systém dostane do ustáleného stavu. Priebeh tohto procesu sledujeme na teplomere 6 v potrubí, *obr. 1.3*.
4. Počas obdobia neustáleného stavu stanovíme pomocou aspiračného psychrometra teplotu suchého teplomera  $t_{s1}$  a teplotu vlhkého teplomera  $t_{v1}$  vzduchu v miestnosti. Návod na obsluhu aspiračného psychrometra je v dokumentácii k práci.
5. Ak sa teplota vzduchu v potrubí počas 5 min nemení, možno teplotný a hydrodynamický režim považovať za ustálený.

## B. Meranie

1. Na barometri odčítame atmosférický tlak  $P_{b1}$ . Stanovíme teplotu  $t_f$  vzduchu prúdiaceho v potrubí.
2. Na šikmom U-manometri 7 odčítame hodnotu  $\Delta l_{s1}$  na výpočet statického tlaku. Na manometri 8 odčítame hodnotu  $\Delta h_{c1}$  na výpočet prietoku clonkou. Namerané údaje zapíšeme do *tab. 1.1*.
3. Pitotova-Prandtlova rúrka na meranie v pravoľavom smere je umiestnená v ľavej krajnej polohe vo vzdialosti 47 mm od osi potrubia. Na šikmom manometri 6a odčítame hodnotu  $\Delta l_1$  na výpočet dynamického tlaku v tejto polohe a zapišeme ju do druhého riadku prvého merania v *tab. 1.2*. Potom meraciu rúrku postupne umiestnime do miest vzdialenosť o 44, 40, 34, 25 a 15 mm od osi potrubia. V každom z nich odčítame hodnotu  $\Delta l_1$  a zapišeme do príslušných riadkov hornej polovice *tab. 1.2*. Hodnotu  $\Delta l_1$  zmeriame aj v osi potrubia a potom v pravej časti potrubia. Vzdialosti od osi potrubia sú rovnaké ako v ľavej časti. Pre  $r = 53$  mm pri stene potrubia zapišeme neskôr do tabuľky hodnotu  $\Delta l_{10}$ . Druhú sériu meraní pozdĺž pravoľavého priemeru potrubia vykonáme pri posúvaní meracej rúrky sprava doľava. Údaje  $\Delta l_1$  zapisujeme do druhého stĺpca tabuľky zdola nahor. Tretiu sériu meraní vykonáme pri posune zľava doprava.
4. Pri meraní v predozadnom smere umiestňujeme meraciu rúrku v rovnakých vzdialosťach od osi potrubia ako v pravoľavom smere. Prvú sériu meraní vykonáme spredu dozadu, druhú v opačnom smere a tretiu zasa dozadu. Hodnoty  $\Delta l_2$  odčítané na U-manometri 6b zapíšeme do druhej časti *tab. 1.2*, pri druhej sérii zdola nahor. Po skončení

meraní presunieme rúrku do prednej krajnej polohy. Tabuľku neskôr doplníme hodnotami  $\Delta l_{20}$  pre  $r = 53$  mm.

5. Na manometri 8 odčítame hodnotu  $\Delta h_{c2}$ , na šikmom manometri 7 hodnotu  $\Delta l_{s2}$ .
6. Stanovíme teplotu vzduchu  $t_{f2}$  v potrubí. Na barometri odčítame atmosférický tlak  $P_{b2}$ .

### C. Ukončenie merania

1. Zastavíme ventilátor.
2. Na šikmých manometroch 6a, 6b, 7 odčítame hodnoty  $\Delta l_{10k}$ ,  $\Delta l_{20k}$ ,  $\Delta l_{s0k}$  a zapíšeme ich do tab. 1.1.
3. Aspiračným psychrometrom zistíme teplotu suchého teplomera  $t_{s2}$  a teplotu vlhkého teplomera  $t_{v2}$ .

## SPRACOVANIE NAMERANÝCH ÚDAJOV

1. Z dvojíc údajov v tab. 1.1 vypočítame aritmetické priemery.
2. Hustotu vody  $\rho_B$  v manometroch zistíme pri teplote okolia  $t_s$ .
3. Statický tlak  $P_s$  v potrubí vypočítame ako súčet atmosférického tlaku  $P_b$  a tlakového rozdielu  $\Delta P_s$  indikovaného šikmým manometrom 7. Hodnotu  $\Delta P_s$  vypočítame z rovnice (1.11) pomocou údajov  $\Delta l_{s0}$  a  $\Delta l_s$  z tab. 1.1. Pretože hustota vzduchu  $\rho_A$  je oveľa menšia ako hustota vody  $\rho_B$  a  $\Delta P_s \ll P_b$ , použijeme  $\rho_B - \rho_A \approx \rho_B$ .
4. Z rovnice (1.12) vypočítame vlhkosť vzduchu. Hustotu vzduchu  $\rho_A$  v potrubí pri teplote  $t_f$  a tlaku  $P_s$  vypočítame pomocou vzťahu (1.13.)
5. Z hodnôt  $\Delta l_i$  pre každú polohu meracej rúrky určíme aritmetický priemer  $\Delta l_1$  a z hodnôt  $\Delta l_{2i}$  ich aritmetický priemer  $\Delta l_2$ . Pomocou rovnice (1.11) zistíme dynamický tlak a zo vzťahu (1.10) vypočítame strednú lokálnu rýchlosť vzduchu  $v_r$  ( $v_{lr}$ ) pre všetky meracie miesta v pravoľavom a predozadnom smere a získané údaje zostavíme do tab. 1.3.
6. Hodnoty strednej lokálnej rýchlosťi  $v_r$  použijeme na výpočet objemového toku  $\dot{V}$  zo vzťahu (1.8). Integrály riešte numericky, lichobežníkovým pravidlom. Z objemového toku  $\dot{V}$  vypočítame priemernú rýchlosť  $w$ .
7. Z hodnôt strednej lokálnej rýchlosťi vzduchu v tých miestach všetkých štyroch polomerov merania, ktoré sú rovnako vzdialené od osi potrubia, určíme aritmetický stred ako reprezentatívnu hodnotu. Z týchto rýchlosťí stanovíme hodnotu pomeru  $v^*/k$  v rovnici (1.3) a koeficientu  $n$  v rovnici (1.5). Použijeme metódu najmenších štvorcov.

8. Hodnoty  $v^*/k$  a  $n$  a reprezentatívnu experimentálne stanovenú maximálnu rýchlosť  $v_m$  použijeme v rovniciach (1.3) a (1.5) na spätný výpočet stredných hodnôt miestnych rýchlosťí  $v_{rk}$  a  $v_{rp}$  vo všetkých meracích vzdialenosťach od osi potrubia. Tieto údaje predstavujú štatisticky vyrovnané miestne rýchlosťi v potrubí. Zapišeme ich do tab. 1.4.
9. Pri výpočte hodnoty univerzálneho koeficientu  $k$  z hodnoty  $v^*/k$  pomocou rovnice (1.4) použijeme priemernú rýchlosť vzduchu v potrubí  $w$ . Drsnosť stien  $\varepsilon$  je uvedená v dokumentácii. Funkciu  $\lambda = f(Re, \varepsilon)$  nájdeme v učebnici výpočtov z chemického inžinierstva.
10. Do grafu zakreslíme rýchlosťný profil vypočítaný podľa Kármánovho vzťahu ( $v_{rk}$ ) a rýchlosťný profil podľa Prandtlovho vzťahu ( $v_{rp}$ ). Priemer potrubia zobrazíme v skutočnej veľkosti. Vektory miestnych rýchlosťí zobrazíme v mierke  $1 \text{ m.s}^{-1}: 1 \text{ cm}$ . Do grafu zakreslíme experimentálne stanovené hodnoty strednej lokálnej rýchlosťi. Hodnoty namerané v pravoľavom a predozadnom smere odlišíme symbolmi.
11. Objemový tok vzduchu  $\dot{V}_c$  z meraní na clonke určíme podľa vzťahu v učebnici Chemické inžinierstvo I.
12. Určíme relatívnu odchýlku  $\delta_V$  objemového toku  $\dot{V}$ , vypočítaného zo vzťahu (1.8), od objemového toku  $\dot{V}_c$  z merania na clonke. Výsledky výpočtov zhnieme do tab. 1.5.

Úlohy uvedené v bodoch 5 až 8 spracujeme na počítači. Údaje vstupujú do počítača, ako sú zapísané v tab. 1.2. Výpis je zhodný s usporiadaním tabuľiek 1.3 a 1.4.

Záznam o pomocných meraniach

Tabuľka 1.1

Šikmý manometer, obr. 1.4		
6a	6b	7
$\Delta l_{10z} =$ mm	$\Delta l_{20z} =$ mm	$\Delta l_{s0z} =$ mm
$\Delta l_{10k} =$ mm	$\Delta l_{20k} =$ mm	$\Delta l_{s0k} =$ mm
$\Delta l_{10} =$ mm	$\Delta l_{20} =$ mm	$\Delta l_{s0} =$ mm
$\alpha_1 =$ °	$\alpha_2 =$ °	$\alpha =$ °
$\sin \alpha_1 =$	$\sin \alpha_2 =$	$\sin \alpha =$
Manometer clonky	Atmosférický tlak	
$\Delta h_{cl} =$ mm	$P_{bl} =$ kPa	$\Delta l_{sl} =$ mm
$\Delta h_{c2} =$ mm	$P_{b2} =$ kPa	$\Delta l_{s2} =$ mm
$\Delta h_c =$ mm	$P_b =$ kPa	$\Delta l_s =$ mm
Údaje psychrometra		
$t_{sl} =$ °C	$t_{vl} =$ °C	$t_n =$ °C
$t_{s2} =$ °C	$t_{v2} =$ °C	$t_n =$ °C
$t_s =$ °C	$t_v =$ °C	$t_f =$ °C

Záznam o meraniach na určenie rýchlosného profilu

Tabuľka 1.2

Pravohavý smer			Predozadný smer		
Poloha	$r_1$ [mm]	Číslo merania			$\Delta l_{20} =$ mm
		1	2	3	
		$\Delta l_{11}$ [mm]			$\rho_A =$ kg · m <sup>-3</sup>
1	53				$\rho_B =$ kg · m <sup>-3</sup>
2	47				$\sin \alpha_1 =$
3	44				
4	40				$D =$ mm
5	34				
6	25				
7	15				
8	0				
7	15				
6	25				
5	34				
4	40				
3	44				
2	47				
1	53				

Poloha	$r_2$ [mm]	Číslo merania			$\Delta l_{21} =$ mm
		1	2	3	
1	53				
2	47				
3	44				
4	40				
5	34				
6	25				
7	15				
8	0				
7	15				
6	25				
5	34				
4	40				
3	44				
2	47				
1	53				

Vypočítané hodnoty lokálnych stredných veličín

Pravovávý smer			
$r_1$ [m]	$\Delta l_1$ [mm]	$P_{d1}$ [Pa]	$v_{r1}$ [m.s <sup>-1</sup> ]
0,053			
0,047			
0,044			
0,040			
0,034			
0,025			
0,015			
0			
0,015			
0,025			
0,034			
0,040			
0,044			
0,047			
0,053			
$\dot{V} =$	$\text{m}^3.\text{s}^{-1}$	$w =$	$\text{m.s}^{-1}$

Tabuľka 1.3

Predozadný smer			
$r_2$ [m]	$\Delta l_2$ [mm]	$P_{d2}$ [Pa]	$v_{r2}$ [m.s <sup>-1</sup> ]
0,053			
0,047			
0,044			
0,040			
0,034			
0,025			
0,015			
0			
0,015			
0,025			
0,034			
0,040			
0,044			
0,047			
0,053			
$\dot{V} =$	$\text{m}^3.\text{s}^{-1}$	$w =$	$\text{m.s}^{-1}$

Tabuľka 1.4

$r$ [m]								
$v_{rk}$ [m.s <sup>-1</sup> ]								
$v_{rp}$ [m.s <sup>-1</sup> ]								

Konečné výsledky meraní a výpočtov

Tabuľka 1.5

$t_v$	°C	$P_b$	Pa	$\bar{Y}$		$k$		$\dot{V}$	$\text{m}^3.\text{s}^{-1}$
$t_s$	°C	$P_s$	Pa	$\rho_A$	$\text{kg.m}^{-3}$	$n$		$\dot{V}_c$	$\text{m}^3.\text{s}^{-1}$
$t_f$	°C	$P_v^o$	Pa	$v_m$	$\text{m.s}^{-1}$	$w$	$\text{m.s}^{-1}$	$\delta_v$	